

京大防災研究所 正員 宇民 正・上野鉄男

1. はじめに

流れの水平断層面内の状況をトレーサー法により次々と時間的に連続して写真撮影した。一つの水平断層面内の流況を撮影すると、次にはそれより4mm上の水平断層面内の流況を撮影するという様にして、4.1cmの水深の流れについて4mm間隔で1/2秒毎に11枚の断層面写真を得た。

撮影結果から、各断層面内の流速ベクトルの分布を求め、それを基にして各断層面内の流線のパターンを求め、またこの流れに水素気泡法が適用されたとした場合に生じる水素気泡列のパターンを計算により求めた。これららの結果を検討することにより、乱流の三次元的な構造の実態ならびにそれが水素気泡列パターンにどのように反映するかを明らかにした。なお、実験条件はオ27回水理講演会で発表したものと同じである。¹⁾

2. 流線のパターンの特徴と乱流の三次元構造

図-1(a), (b)はそれぞれ水路床面から1.5mmおよび5.5mmの水平断面における流況を並進系から見た場合の流線パターンを示している。これららの図と合わせて(a)図から、だ円形状の流線パターンが顕著に認められ、水路床面近くでは水路床面とやすかな角度をもって流下方向に伸びている様子が伺える。

これららの流線パターンの中にある規則性を把握するために、パターン中の特異点(鞍形点)周辺のパターンを分類してみた。その特徴的なものをあげると図-2(a)～(c)のようである。すなわち、(a)は特異点の上流側に高速部、下流側に低速部が生じた場合で、図-1(a)の(17.5cm, 5cm)の特異点、図-1(b)の(15.5cm, 10cm)の特異点がこれに相当する。図-2(b)は以上と逆に特異点の上流側に低速部、下流側に高速部が生じる場合で、図-1(a)の(10cm, 5cm)の特異点、図-1(b)の(17.5cm, 4.5cm)の特異点がこれに相当する。また図-2(c)は1つの特異点において高速部は低速部に、低速部は高速部にせりぞれ遷移している例で、図-1(a)のx=2～9cm, y=9～13cmの範囲内にある特異点群がこれに相当する。

ところで、渦の形態として馬蹄型渦を考えると、馬蹄型渦と高速部あるいは低速部の位置関係は図-3に概念的に示される様であるから、図-2の(a)～(c)に文ずむする馬蹄型渦の配列位置はそれぞれ図-4(a)～(c)のようであると考えられる。一方、図-1の流線パターンと各断面での三次元発散の計算値を比較してみると、図-2(a)の特異点の周辺(図では上下側)では三次元発散の値は負の大きな値を示しており、図-2(b)の特異点の上・下側では正の大きな値を示していることが認められた。こり化粧向は流線パターンから判断にも寄ける。

以上のことと統合して考えると、図-2(a)の特異点の両側における三次元発散の負の大きな値はバースティング現象を意味しており、その三次元的な構造は図-4(a)のような馬蹄型渦の配列の下に生じると考えられる。一方図-2(b)の特異点の両側における三次元発散の正の大きな値は強い下降流の存在を意味していると考えられ、それは図-4(b)のような馬蹄型渦の配列の下に生じると考えられる。以上のことは低速部における上昇流、高速部における下降流、特異点の両側における強い局所的な上昇流(バースティング)、ならびに特異点の両側における強い局所的な下降流の関係を示すと共に、それらは区別して考えられるべき現象であることを示している。

3. 水素気泡法の気泡列パターン

図-5は計算により求められた水素気泡列のパターンであり、(a)は図-1(a)の断面内 x=5cm の位置に横断方向に水素気泡発生用電極をおいた時のタイムラインのパターン、(b)は同じ場合の流線のパターン、(c)は図-1(b)の断面内 x=10cm の位置に電極をおいた場合のタイムラインのパターンのそれと計算結果である。(a)のパターンの方が(c)のパターンに比べて低速部におけるタイムラインの幅が深くなつ

ており、同時に低速域の横断方向の間隔も小さくなっている。また(a)図の高速部において(b)図の流跡線は発散しており、一方(a)図の低速域において(b)図の流跡線は収束している。これは高速部における下降流の存在と低速部における上昇流の存在を示している。また(a)図と(b)図の円形で囲んだ部分は図-2(b)の特異点周辺の水素気泡パターンを示しており、実際ここでは急所的な下降流の存在が水素気泡パターンからも伺える。一方(b)図の円形で囲まれた部分は図-2(a)の特異点周辺の水素気泡列のパターンを示している。すなはちこれはバースティング周辺の水素気泡列のパターンである。

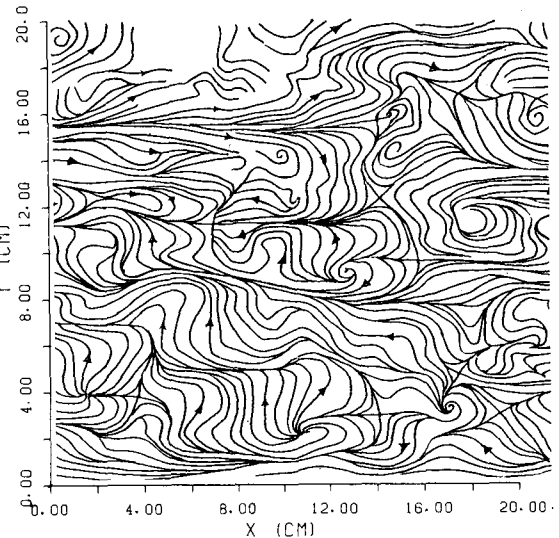
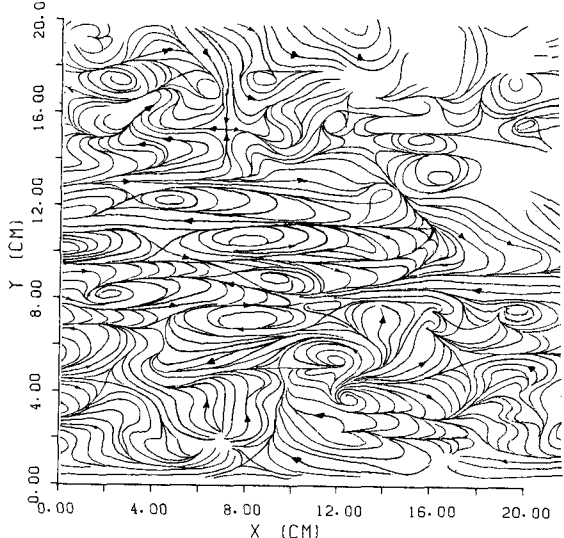


図-1 (a) 並進系から見た $Z=1.5\text{ mm}$ 水平断面の流線パターン (b) 同じく $Z=5.5\text{ mm}$ 水平断面の流線パターン

主流方向
➡

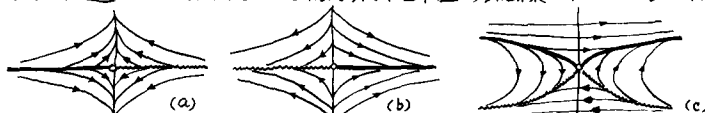


図-2 特異点付近の流線パターンの分類 (— 高速部, - - - 低速部)

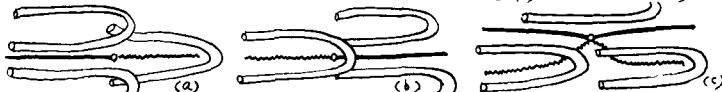


図-3 馬蹄型渦と高速部および低速部の位置関係

図-4 図-2(a)～(c)の特異点に対する馬蹄型渦の配置の概念図

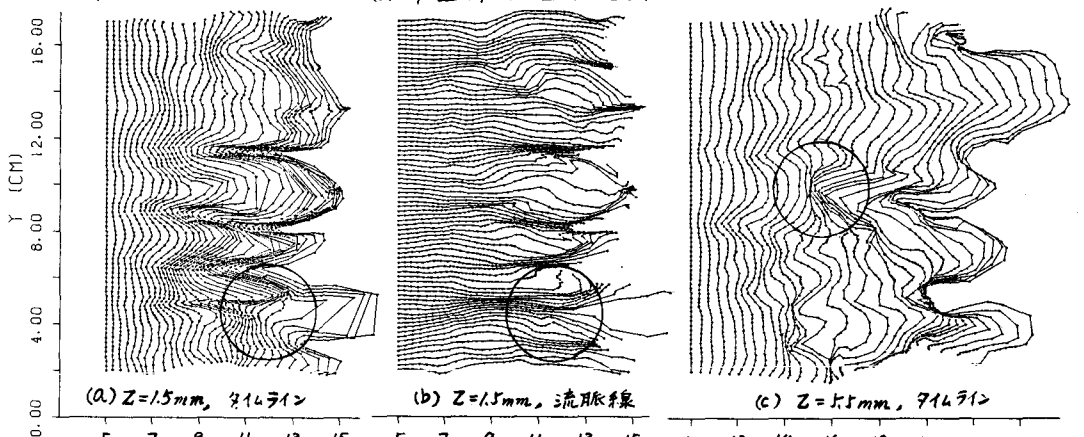


図-5 流速の実測値から計算によって求めた水素気泡法の気泡列パターン

参考文献 1) 宇民・上野: 第27回水理講演会論文集, 1983 2) 宇民・上野: 京大防災研年報第19号B, 第20号B, 1976, 1977